

Cenni di meccanica computazionale ed applicazione per strutture con elementi *beam*

Linda Giresini

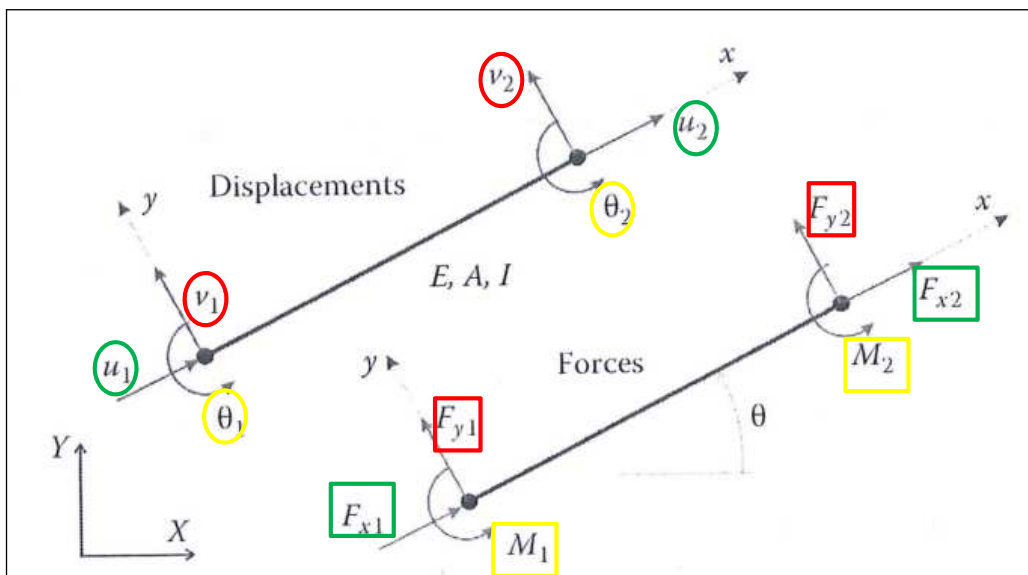
Tecnica delle Costruzioni II - 5 Marzo 2014

Linda Giresini

1

Rigid jointed frames – beam elements

- Resistono ad effetti combinati di azioni orizzontali e verticali
- Nodi incastro tra travi e colonne
- Gli elementi sono soggetti non solo a flessione ma anche a sforzo normale (beam-columns elements)
- 6 DOF per nodo



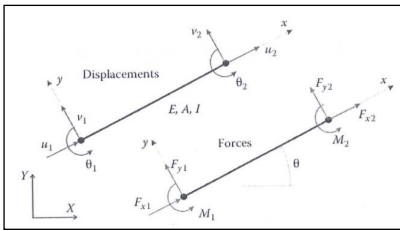
Linda Giresini

2

Rigid jointed frames – stiffness matrix

$\{d_e\} = \{u_1, v_1, \theta_1, u_2, v_2, \theta_2\}$ vettore degli spostamenti nodali

$\{F_e\} = \{F_{x1}, F_{y1}, M_1, F_{x2}, F_{y2}, M_2\}$ vettore delle forze nodali



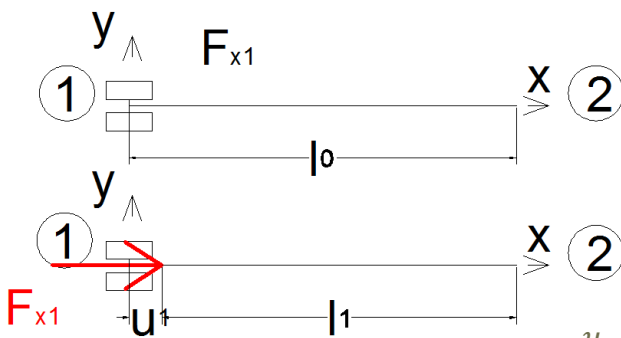
$$[K_e] = \begin{bmatrix} \frac{EA}{L} & 0 & 0 & -\frac{EA}{L} & 0 & 0 \\ 0 & 12\frac{EJ}{L^3} & 6\frac{EJ}{L^2} & 0 & -12\frac{EJ}{L^3} & 6\frac{EJ}{L^2} \\ 0 & 6\frac{EJ}{L^2} & 4\frac{EJ}{L} & 0 & -6\frac{EJ}{L^2} & 2\frac{EJ}{L} \\ -\frac{EA}{L} & 0 & 0 & \frac{EA}{L} & 0 & 0 \\ 0 & -12\frac{EJ}{L^3} & -6\frac{EJ}{L^2} & 0 & 12\frac{EJ}{L^3} & -6\frac{EJ}{L^2} \\ 0 & 6\frac{EJ}{L^2} & 2\frac{EJ}{L} & 0 & -6\frac{EJ}{L^2} & 4\frac{EJ}{L} \end{bmatrix}$$

$$\{F_e\} = [K_e]\{d_e\}$$

Linda Giresini

3

Rigid jointed frames – stiffness matrix

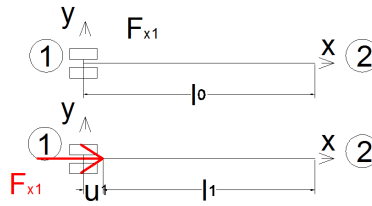


$$[K_e] = \begin{bmatrix} \frac{EA}{L} & 0 & 0 & -\frac{EA}{L} & 0 & 0 \\ 0 & 12\frac{EJ}{L^3} & 6\frac{EJ}{L^2} & 0 & -12\frac{EJ}{L^3} & 6\frac{EJ}{L^2} \\ 0 & 6\frac{EJ}{L^2} & 4\frac{EJ}{L} & 0 & -6\frac{EJ}{L^2} & 2\frac{EJ}{L} \\ -\frac{EA}{L} & 0 & 0 & \frac{EA}{L} & 0 & 0 \\ 0 & -12\frac{EJ}{L^3} & -6\frac{EJ}{L^2} & 0 & 12\frac{EJ}{L^3} & -6\frac{EJ}{L^2} \\ 0 & 6\frac{EJ}{L^2} & 2\frac{EJ}{L} & 0 & -6\frac{EJ}{L^2} & 4\frac{EJ}{L} \end{bmatrix}$$

Linda Giresini

4

Rigid jointed frames – stiffness matrix



$$F_{x1} = \frac{EA}{L} u_1$$

$$F_{x2} = -\frac{EA}{L} u_1$$

$$[K_e] = \begin{bmatrix} \frac{EA}{L} & 0 & 0 & -\frac{EA}{L} & 0 & 0 \\ 0 & 12 \frac{EJ}{L^3} & 6 \frac{EJ}{L^2} & 0 & -12 \frac{EJ}{L^3} & 6 \frac{EJ}{L^2} \\ 0 & 6 \frac{EJ}{L^2} & 4 \frac{EJ}{L} & 0 & -6 \frac{EJ}{L^2} & 2 \frac{EJ}{L} \\ \frac{EA}{L} & 0 & 0 & \frac{EA}{L} & 0 & 0 \\ 0 & -12 \frac{EJ}{L^3} & -6 \frac{EJ}{L^2} & 0 & 12 \frac{EJ}{L^3} & -6 \frac{EJ}{L^2} \\ 0 & 6 \frac{EJ}{L^2} & 2 \frac{EJ}{L} & 0 & -6 \frac{EJ}{L^2} & 4 \frac{EJ}{L} \end{bmatrix}$$

Forza che occorre applicare nel nodo 1 per avere in 1 uno spostamento u_1 unitario.

Forza che occorre applicare nel nodo 2 per avere in 1 uno spostamento u_1 unitario.

Linda Giresini

5

Rigid jointed frames – stiffness matrix

$$[K_e] = \begin{bmatrix} \frac{EA}{L} & 0 & 0 & -\frac{EA}{L} & 0 & 0 \\ 0 & 12 \frac{EJ}{L^3} & 6 \frac{EJ}{L^2} & F_{y1} & -12 \frac{EJ}{L^3} & 6 \frac{EJ}{L^2} \\ 0 & 6 \frac{EJ}{L^2} & 4 \frac{EJ}{L} & 0 & -6 \frac{EJ}{L^2} & 2 \frac{EJ}{L} \\ \frac{EA}{L} & 0 & 0 & \frac{EA}{L} & 0 & 0 \\ 0 & -12 \frac{EJ}{L^3} & -6 \frac{EJ}{L^2} & 0 & 12 \frac{EJ}{L^3} & -6 \frac{EJ}{L^2} \\ 0 & 6 \frac{EJ}{L^2} & 2 \frac{EJ}{L} & M_2 & -6 \frac{EJ}{L^2} & 4 \frac{EJ}{L} \end{bmatrix}$$

Forza in y che occorre applicare nel nodo 1 per avere in 2 uno spostamento v_2 unitario.

Forza (in senso generalizzato, coppia) che occorre applicare nel nodo 2 per avere in 2 uno spostamento v_2 unitario.

Linda Giresini

6

Rigid jointed frames – stiffness matrix

$$[K_e] = \begin{bmatrix} \frac{EA}{L} & 0 & 0 & -\frac{EA}{L} & 0 & 0 \\ 0 & 12\frac{EJ}{L^3} & 6\frac{EJ}{L^2} & -12\frac{EJ}{L^3} & -6\frac{EJ}{L^2} & 6\frac{EJ}{L^2} \\ 0 & 6\frac{EJ}{L^2} & 4\frac{EJ}{L} & -6\frac{EJ}{L^2} & 2\frac{EJ}{L} & -2\frac{EJ}{L} \\ -\frac{EA}{L} & 0 & 0 & \frac{EA}{L} & 0 & 0 \\ 0 & -12\frac{EJ}{L^3} & -6\frac{EJ}{L^2} & 12\frac{EJ}{L^3} & 6\frac{EJ}{L^2} & -6\frac{EJ}{L^2} \\ 0 & 6\frac{EJ}{L^2} & 2\frac{EJ}{L} & -6\frac{EJ}{L^2} & 4\frac{EJ}{L} & -2\frac{EJ}{L} \end{bmatrix}$$

F_{y1} (force at node 1) and M_2 (moment at node 2) are indicated in purple boxes.

Forza in y che occorre applicare nel nodo 1 per avere in 2 uno spostamento **v2 unitario**.

Forza (in senso generalizzato, coppia) che occorre applicare nel nodo 2 per avere in 2 uno spostamento **v2 unitario**.

Linda Giresini

7

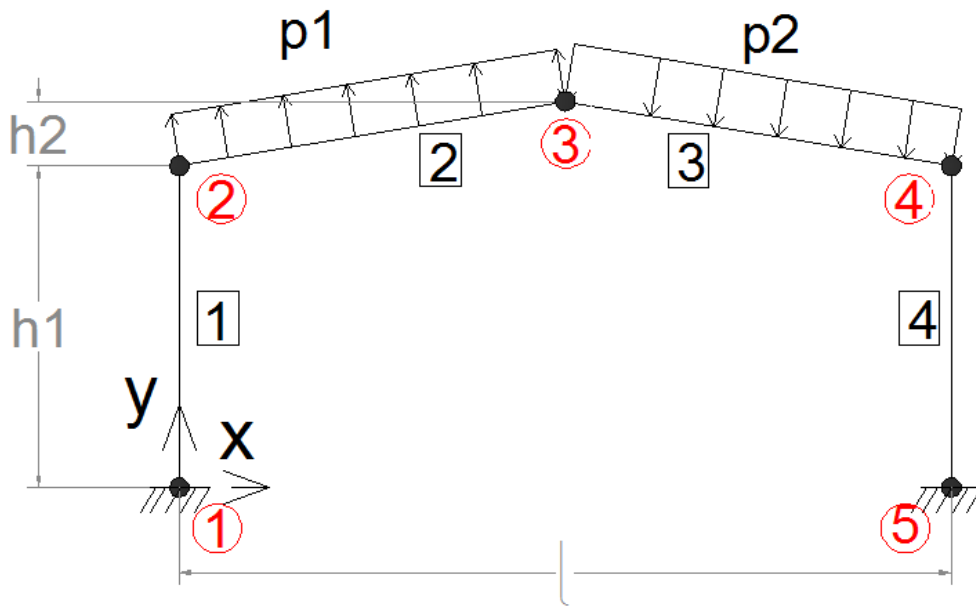
Passaggi FEM – metodo degli spostamenti

- Scrittura delle $\{F_e\} = [K_e]\{d_e\}$ ovvero delle matrici di rigidezza $[K_e]$ per ogni elemento;
- Trasformazione delle matrici di rigidezza $[K_e]$ in coordinate globali;
- Assemblaggio della matrice globale;
- Scrittura del vettore di forze globale;
- Specificazione delle condizioni al contorno (boundary conditions)
- Soluzione del sistema di equazioni $\{F_{glob}\} = [K_{glob}]\{d_{glob}\}$ ovvero determinazione del vettore degli spostamenti $\{d_{glob}\}$
- Calcolo del vettore delle reazioni incognite (relativo ai gradi di libertà dove sono state imposte le condizioni al contorno)
- Trasformazione del vettore degli spostamenti in coordinate locali;
- $\{F_e\} = [K_e]\{d_e\}$ da cui si ottiene il vettore delle forze interne.

Linda Giresini

8

Esempio applicativo

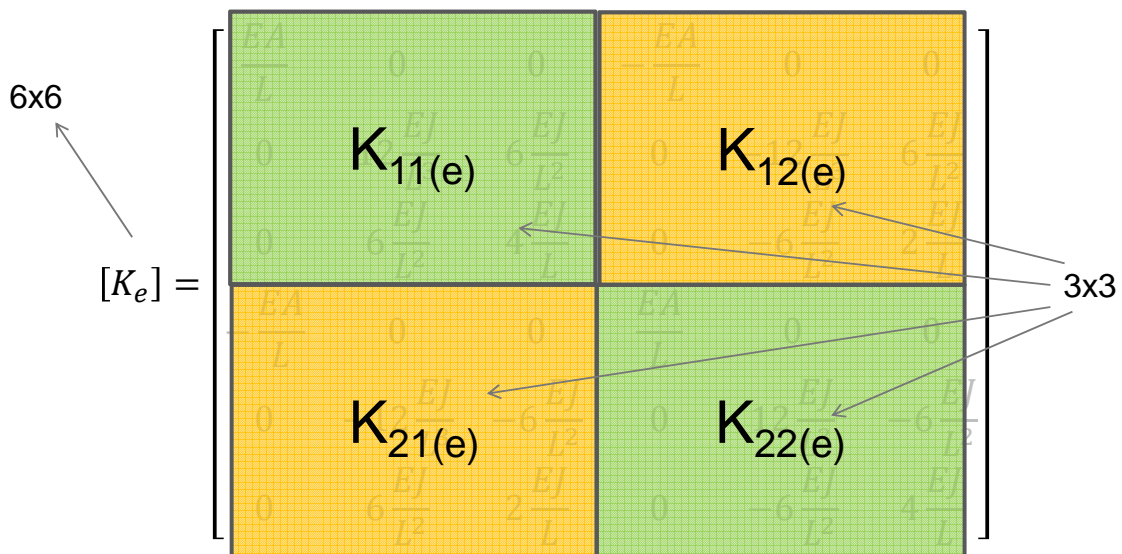


Dati
 $p1=p2=12 \text{ kN/m}$
 $h1=5000 \text{ mm}$
 $h2=1000 \text{ mm}$
 $l=12000 \text{ mm}$

Linda Giresini

9

$\{F_e\} = [K_e]\{d_e\}$ - matrici di rigidezza $[K_e]$ per ogni elemento



$$[K_{12(e)}] = [K_{12(e)}]^T \rightarrow [K_e] \text{ sym}$$

Linda Giresini

10

$$\{F_e\} = [K_e]\{d_e\} \rightarrow \{\bar{F}_e\} = [\bar{K}_e]\{\bar{d}_e\}$$

Trasformazione delle matrici di rigidezza $[K_e]$ in coordinate globali $[\bar{K}_e]$

Per farlo occorre definire una matrice di trasformazione:

$$[C] = \begin{bmatrix} \cos(\theta) & -\sin(\theta) & 0 & 0 & 0 & 0 \\ \sin(\theta) & \cos(\theta) & 0 & 0 & 0 & 0 \\ 0 & 0 & 1 & 0 & 0 & 0 \\ 0 & 0 & 0 & \cos(\theta) & -\sin(\theta) & 0 \\ 0 & 0 & 0 & \sin(\theta) & \cos(\theta) & 0 \\ 0 & 0 & 0 & 0 & 0 & 1 \end{bmatrix}$$

E' una matrice ortonormale (trasposta coincide con inversa con $\det=1$)

$$[C]^{-1} = [C]^T$$

$$\{F_e\} = [K_e]\{d_e\} \rightarrow \{\bar{F}_e\} = [\bar{K}_e]\{\bar{d}_e\}$$

$$\{\bar{d}_e\} = [C]\{d_e\} \quad \text{Vettore spostamenti in globale}$$

$$\{\bar{F}_e\} = [C]\{F_e\} \quad \text{Vettore forze in globale}$$

$$\{F_e\} = [C]^T\{\bar{F}_e\}$$

$$\{d_e\} = [C]^T\{\bar{d}_e\}$$

$$\{\bar{F}_e\} = [\bar{K}_e]\{\bar{d}_e\}$$

$$\{F_e\} = [C]^T\{\bar{F}_e\} = [K_e]\{d_e\} = [K_e][C]^T\{\bar{d}_e\}$$

Premoltiplicando per $[C]$

$$\{\bar{F}_e\} = [C][K_e][C]^T\{\bar{d}_e\}$$

$$[\bar{K}_e] = [C][K_e][C]^T$$

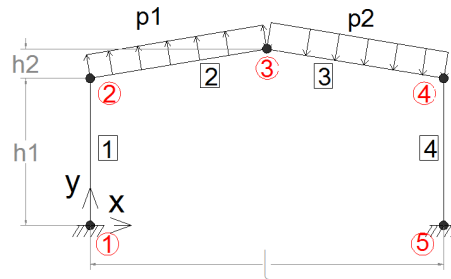
Assemblaggio della matrice globale

Ogni «0» è una matrice 3x3

$$[K_G] = \begin{bmatrix} \delta_1 & \delta_2 & \delta_3 & \delta_4 & \delta_5 \\ 0 & 0 & 0 & 0 & 0 \\ 0 & 0 & 0 & 0 & 0 \\ 0 & 0 & 0 & 0 & 0 \\ 0 & 0 & 0 & 0 & 0 \\ 0 & 0 & 0 & 0 & 0 \end{bmatrix}$$

$$\delta_i = \begin{bmatrix} u_i \\ v_i \\ \theta_i \end{bmatrix} \quad \text{Vettore spostamento nodo } i$$

Linda Giresini



13

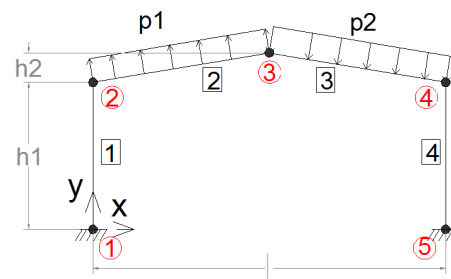
Assemblaggio della matrice globale Step 1: presenza del solo elemento 1

Elemento 1

$$[K_G] = \begin{bmatrix} \delta_1 & \delta_2 & \delta_3 & \delta_4 & \delta_5 \\ \bar{K}_{11}(1) & \bar{K}_{12}(1) & 0 & 0 & 0 \\ \bar{K}_{21}(1) & \bar{K}_{22}(1) & 0 & 0 & 0 \\ 0 & 0 & 0 & 0 & 0 \\ 0 & 0 & 0 & 0 & 0 \\ 0 & 0 & 0 & 0 & 0 \end{bmatrix}$$

L'elemento 1 è collegato ai nodi 1 e 2, quindi si posizionano le K nelle colonne e righe corrispondenti

Linda Giresini



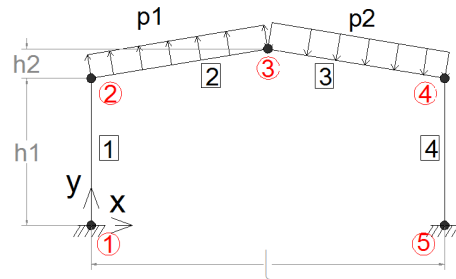
14

Assemblaggio della matrice globale Step 2: presenza del solo elemento 2

$$[\bar{K}_G] = \begin{matrix} & \delta_1 & \delta_2 & \delta_3 & \delta_4 & \delta_5 \\ \begin{matrix} 0 \\ 0 \\ 0 \\ 0 \\ 0 \end{matrix} & \begin{bmatrix} 0 & 0 & 0 & 0 & 0 \\ \bar{K}_{11}(2) & \bar{K}_{12}(2) & 0 & 0 & 0 \\ \bar{K}_{12}(2) & \bar{K}_{22}(2) & 0 & 0 & 0 \\ 0 & 0 & 0 & 0 & 0 \\ 0 & 0 & 0 & 0 & 0 \end{bmatrix} \end{matrix}$$

L'elemento 2 è collegato ai nodi 2 e 3, quindi si posizionano le K nelle colonne e righe corrispondenti

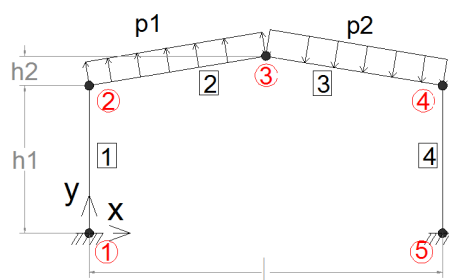
Linda Giresini



15

Assemblaggio della matrice globale

$$[\bar{K}_G] = \begin{matrix} & \delta_1 & \delta_2 & \delta_3 & \delta_4 & \delta_5 \\ \begin{matrix} \bar{K}_{11}(1) \\ \bar{K}_{21}(1) \\ 0 \\ 0 \\ 0 \end{matrix} & \begin{bmatrix} \bar{K}_{11}(1) & \bar{K}_{12}(1) & 0 & 0 & 0 \\ \bar{K}_{21}(1) & \bar{K}_{22}(1) + \bar{K}_{11}(2) & \bar{K}_{12}(2) & 0 & 0 \\ 0 & \bar{K}_{21}(2) & \bar{K}_{22}(2) + \bar{K}_{11}(3) & \bar{K}_{12}(3) & 0 \\ 0 & 0 & \bar{K}_{21}(3) & \bar{K}_{22}(3) + \bar{K}_{11}(4) & \bar{K}_{12}(4) \\ 0 & 0 & 0 & \bar{K}_{21}(4) & \bar{K}_{22}(4) \end{bmatrix} \end{matrix}$$

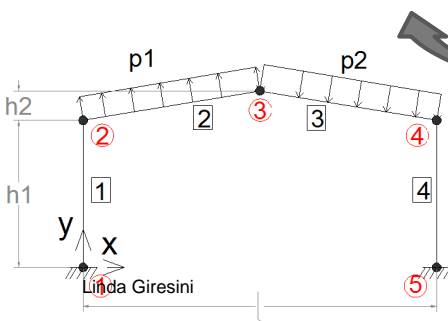


Linda Giresini

16

Assemblaggio della matrice globale

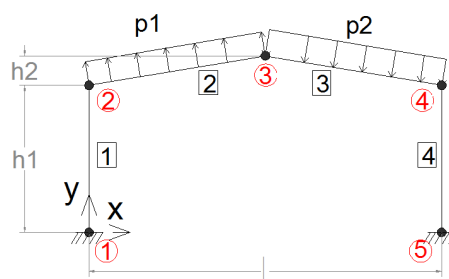
$$[\bar{K}_G] = \begin{bmatrix} \delta_1 & \delta_2 & \delta_3 & \delta_4 & \delta_5 \\ \bar{K}_{11(1)} & \bar{K}_{12(1)} & 0 & 0 & 0 \\ \bar{K}_{21(1)} & \bar{K}_{22(1)} + \bar{K}_{11(2)} & \bar{K}_{12(2)} & 0 & 0 \\ 0 & \bar{K}_{21(2)} & \bar{K}_{22(2)} + \bar{K}_{11(3)} & \bar{K}_{12(3)} & 0 \\ 0 & 0 & \bar{K}_{21(3)} & \bar{K}_{22(3)} + \bar{K}_{11(4)} & \bar{K}_{12(4)} \\ 0 & 0 & 0 & \bar{K}_{21(4)} & \bar{K}_{22(4)} \end{bmatrix}$$



17

Assemblaggio della matrice globale (1° sostituzione)

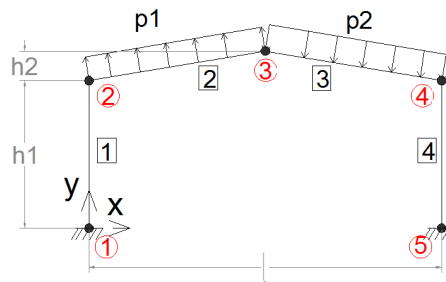
$$[\bar{K}_G] = \begin{bmatrix} \bar{K}_{11(1)} & 0 & \bar{K}_{12(1)} & 0 & 0 \\ 0 & 0 & \bar{K}_{22(1)} + \bar{K}_{11(2)} & \bar{K}_{12(2)} & 0 \\ 0 & 0 & \bar{K}_{21(2)} & \bar{K}_{22(2)} + \bar{K}_{11(3)} & \bar{K}_{12(3)} \\ 0 & \bar{K}_{12(4)} & 0 & \bar{K}_{21(3)} & \bar{K}_{22(3)} + \bar{K}_{11(4)} \\ 0 & \bar{K}_{22(4)} & 0 & 0 & \bar{K}_{21(4)} \end{bmatrix}$$



18

Assemblaggio della matrice globale

$$[K_G] = \begin{bmatrix} \delta_1 & \delta_2 & \delta_3 & \delta_4 & \delta_5 \\ \bar{K}_{11(1)} & \bar{K}_{12(1)} & 0 & 0 & 0 \\ \bar{K}_{21(1)} & \bar{K}_{22(1)} + \bar{K}_{11(2)} & \bar{K}_{12(2)} & 0 & 0 \\ 0 & \bar{K}_{21(2)} & \bar{K}_{22(2)} + \bar{K}_{11(3)} & \bar{K}_{12(3)} & 0 \\ 0 & 0 & \bar{K}_{21(3)} & \bar{K}_{22(3)} + \bar{K}_{11(4)} & \bar{K}_{12(4)} \\ 0 & 0 & 0 & \bar{K}_{21(4)} & \bar{K}_{22(4)} \end{bmatrix}$$

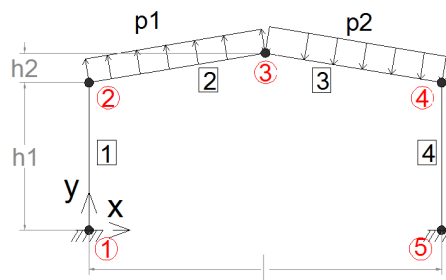


Linda Giresini

19

Assemblaggio della matrice globale (2° sostituzione)

$$[K_G] = \begin{bmatrix} \bar{K}_{11(1)} & 0 & \bar{K}_{12(1)} & 0 & 0 \\ 0 & \bar{K}_{22(4)} & 0 & 0 & \bar{K}_{21(4)} \\ 0 & 0 & \bar{K}_{22(1)} + \bar{K}_{11(2)} & \bar{K}_{12(2)} & 0 \\ 0 & 0 & \bar{K}_{21(2)} & \bar{K}_{22(2)} + \bar{K}_{11(3)} & \bar{K}_{12(3)} \\ 0 & \bar{K}_{12(4)} & 0 & \bar{K}_{21(3)} & \bar{K}_{22(3)} + \bar{K}_{11(4)} \end{bmatrix}$$



Linda Giresini

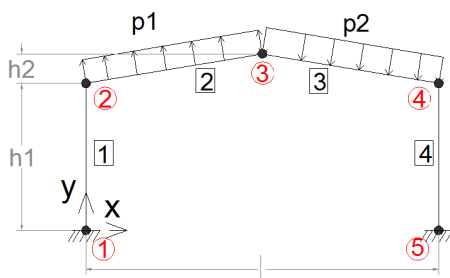
20

Assemblaggio della matrice globale

$$[K_G] = \begin{bmatrix} \bar{K}_{11(1)} & 0 & \bar{K}_{12(1)} & 0 & 0 & 0 \\ 0 & K_{PP} & 0 & 0 & K_{FP} & 0 \\ 0 & 0 & 0 & 0 & 0 & \bar{K}_{21(4)} \\ 0 & 0 & K_{22(1)} + K_{11(2)} & K_{12(2)} & 0 & 0 \\ 0 & K_{PF} & 0 & K_{21(2)} & K_{22} K_{FF} + \bar{K}_{11(3)} & \bar{K}_{12(3)} \\ 0 & 0 & \bar{K}_{12(4)} & 0 & \bar{K}_{21(3)} & \bar{K}_{22(3)} + \bar{K}_{11(4)} \end{bmatrix}$$

$P = \text{prescribed}$

$F = \text{free}$



Linda Giresini

$$\begin{bmatrix} F_{PP} \\ F_{PF} \end{bmatrix} = \begin{bmatrix} K_{PP} & K_{PF} \\ K_{FP} & F_{FF} \end{bmatrix} \begin{bmatrix} \delta_P \\ \delta_F \end{bmatrix}$$

21

Soluzione del sistema di equazioni

$$\begin{bmatrix} F_{PP} \\ F_{PF} \end{bmatrix} = \begin{bmatrix} K_{PP} & K_{PF} \\ K_{FP} & F_{FF} \end{bmatrix} \begin{bmatrix} \delta_P \\ \delta_F \end{bmatrix}$$

- Specificazione delle condizioni al contorno (boundary conditions)
- Soluzione del sistema di equazioni $\{F_{glob}\} = [K_{glob}]\{d_{glob}\}$ ovvero determinazione del vettore degli spostamenti $\{d_{glob}\}$
- Calcolo del vettore delle reazioni incognite (relativo ai gradi di libertà dove sono state imposte le condizioni al contorno)
- Trasformazione del vettore degli spostamenti in coordinate locali;
- $\{F_e\} = [K_e]\{d_e\}$ da cui si ottiene il vettore delle forze interne.

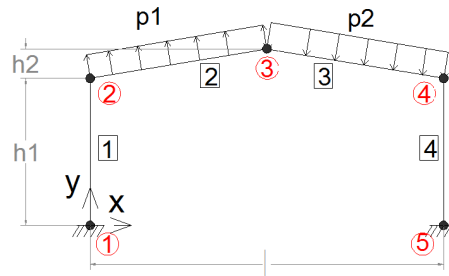
Linda Giresini

22

Problem data

```
nnd=5; %number of nodes
nel=4; %number of elements;
nne=2; %number of nodes per element;
nodof=3; %number of dof per node;
eldof=nne*nodof; %number of dof per element;
```

```
geom=zeros(nnd,2);
geom(1,1)=0. ; geom(1,2)=0.; %x and y coordinates of node 1
geom(2,1)=0. ; geom(2,2)=5000.; %x and y coordinates of node 2
geom(3,1)=6000. ; geom(3,2)=6000. ; %x and y coordinates of node 3
geom(4,1)=12000. ; geom(4,2)=5000.; %x and y coordinates of node 4
geom(5,1)=12000. ; geom(5,2)=0.; %x and y coordinates of node 5
```



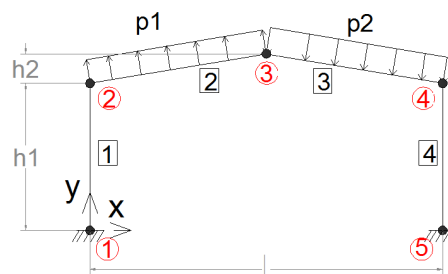
Linda Giresini

23

Problem data

```
convec=zeros(nel,2);
convec(1,1)=1; convec(1,2)=2; %first and second node of element 1
convec(2,1)=2; convec(2,2)=3; %first and second node of element 2
convec(3,1)=3; convec(3,2)=4; %first and second node of element 3
convec(4,1)=4; convec(4,2)=5; %first and second node of element 4
```

```
prop=zeros(nel,3);
prop(1,1)=2.0E+5; prop(1,2)=5210; prop(1,3)=86.4E+6; %E,I,A element 1
prop(2,1)=2.0E+5; prop(2,2)=5210; prop(2,3)=86.4E+6; %E,I,A element 2
prop(3,1)=2.0E+5; prop(3,2)=5210; prop(3,3)=86.4E+6; %E,I,A element 3
prop(4,1)=2.0E+5; prop(4,2)=5210; prop(4,3)=86.4E+6; %E,I,A element 4
```



Linda Giresini

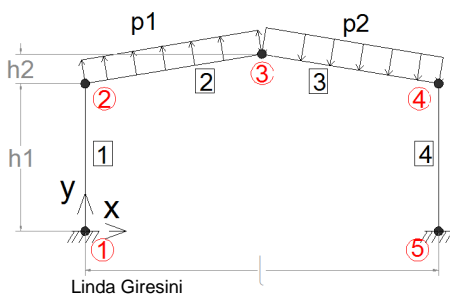
24

Problem data Boundary conditions

```

nf=ones(nnd,nodof);
nf(1,1)=0; nf(1,2)=0; nf(1,3)=0;    %prescribed nodal freedom of node 1
nf(5,1)=0; nf(5,2)=0; nf(5,3)=0;    %prescribed nodal freedom of node 5
    
```

$$[nf] = \begin{bmatrix} 0 & 0 & 0 \\ 1 & 1 & 1 \\ 1 & 1 & 1 \\ 1 & 1 & 1 \\ 0 & 0 & 0 \end{bmatrix} \longrightarrow [nf] = \begin{bmatrix} 0 & 0 & 0 \\ 1 & 2 & 3 \\ 4 & 5 & 6 \\ 7 & 8 & 9 \\ 0 & 0 & 0 \end{bmatrix}$$



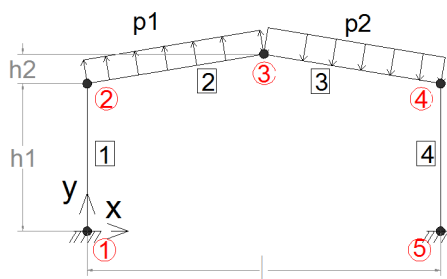
Vengono contati i dof diversi da 0 (ovvero quelli liberi, non vincolati) e il loro rank assegnato alla matrice nf (in questo caso il massimo grado è pari a 9)

Problem data - loading

I carichi sono uniformemente distribuiti (p1 e p2) e computati nel sdr globale.

```

Element_loads=zeros(nel,6);
Element_loads(2,:)= [0 36.4965e3 37e6 0 36.4965e3 -37e6];
Element_loads(3,:)= [0 -36.4965e3 -37e6 0 -36.4965e3 37e6];
    
```



Command Window

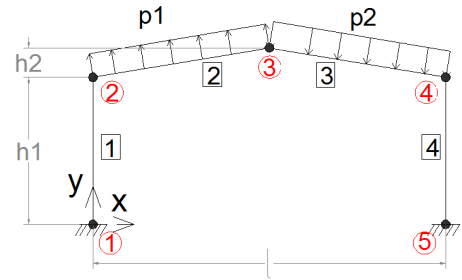
```

delta=KK\F';
%
%Extract nodal displacements
%
for i=1:nnd
for j=1:nodof
node_disp(i,j) = 0;
if nf(i,j)~=0;
node_disp(i,j)=delta(nf(i,j));
end
end
end

for i=1:nel
kl=beam_column_k(i);
C=beam_column_C(i);
kg=C*kl*C';
g=beam_column_g(i);      %retrieve the elements dof
for j=1:eldof
if g(j)==0
edg(j)=0.;      %displacement 0 for restrained dof
edg(j)=delta(g(j));
end
end
fg=kg*edg';
fl=C'*fg;
f0=Element_loads(i,:)    % equivalent nodal loads
force_l(i,:)=fl-f0';
force_g(i,:)=C*(fl-f0');

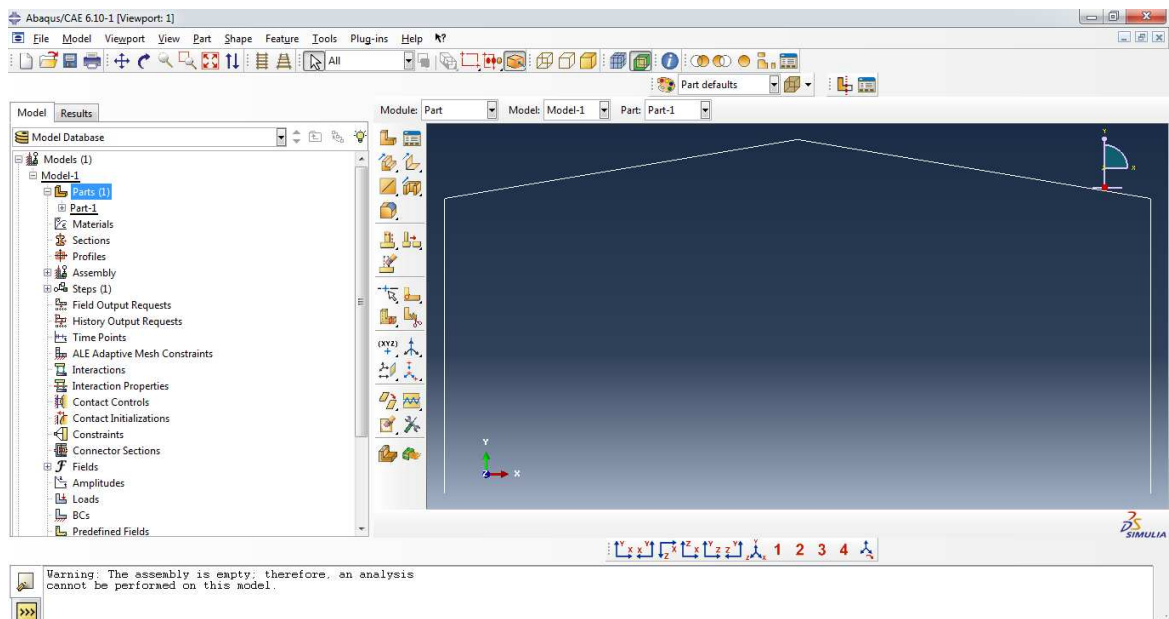
```

Linda Giresini



Calcolo su Abaqus CAE 6.10

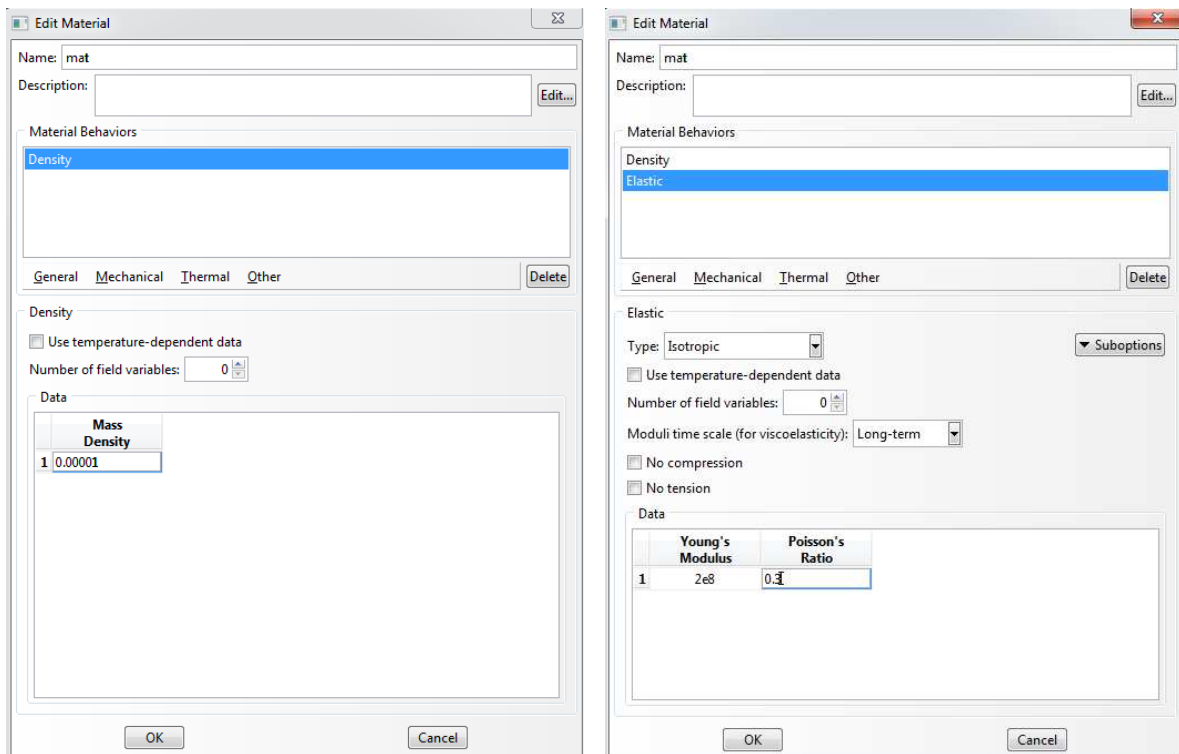
La geometria del modello viene costruita per punti (elementi wires)



Linda Giresini

Calcolo su Abaqus CAE 6.10

Proprietà dei materiali (peso proprio trascurabile)

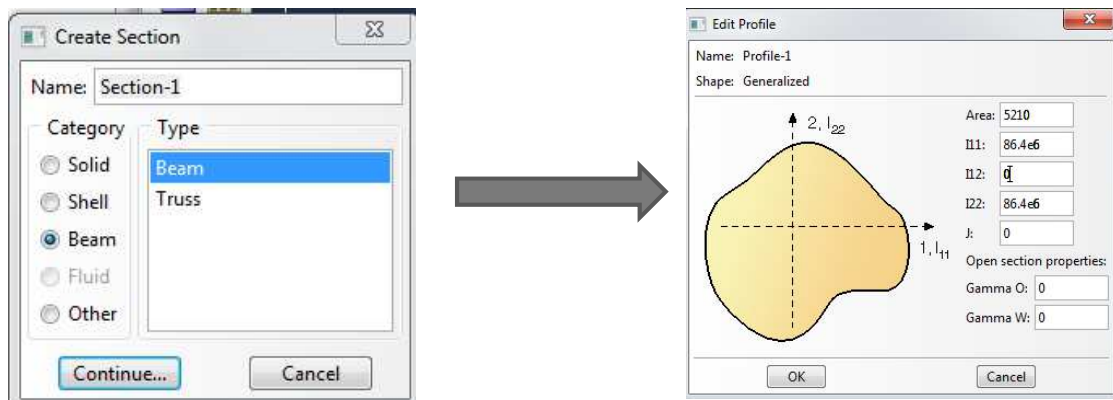


Linda Giresini

31

Calcolo su Abaqus CAE 6.10

Creazione della sezione.

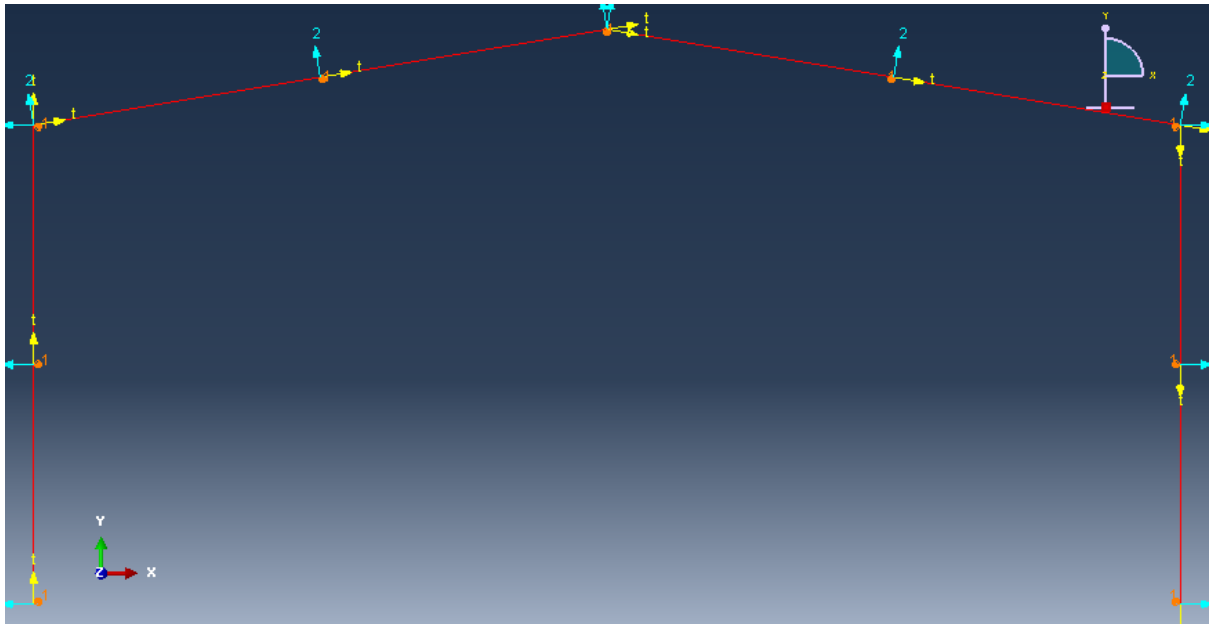


Linda Giresini

32

Calcolo su Abaqus CAE 6.10

Orientazione della sezione.

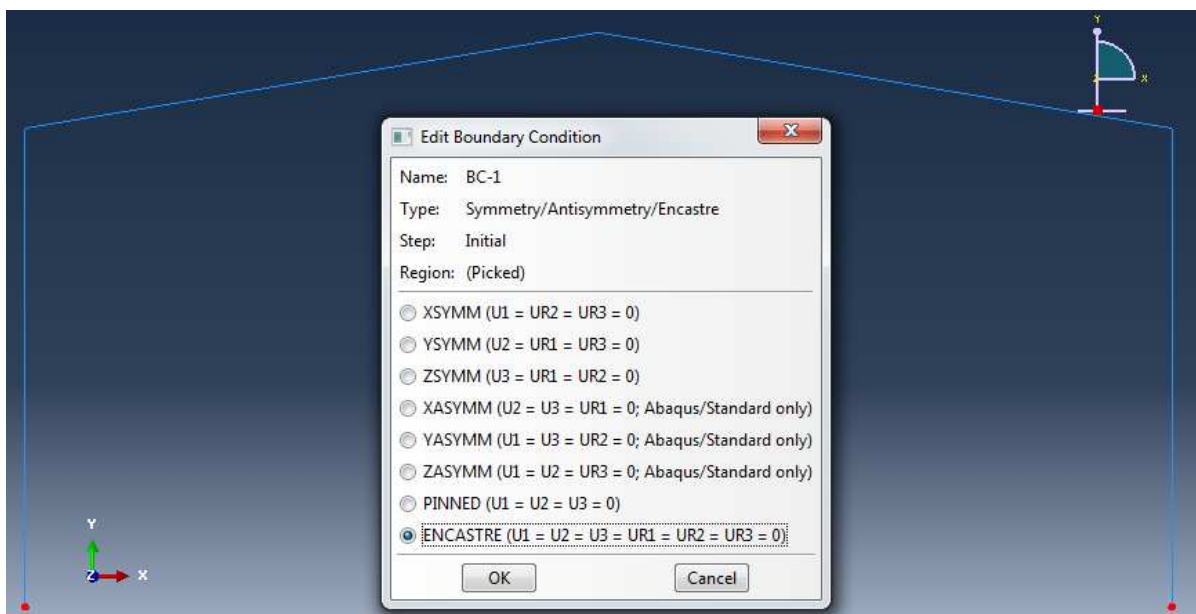


Linda Giresini

33

Calcolo su Abaqus CAE 6.10

Boundary conditions (nodi incastrati in rosso).

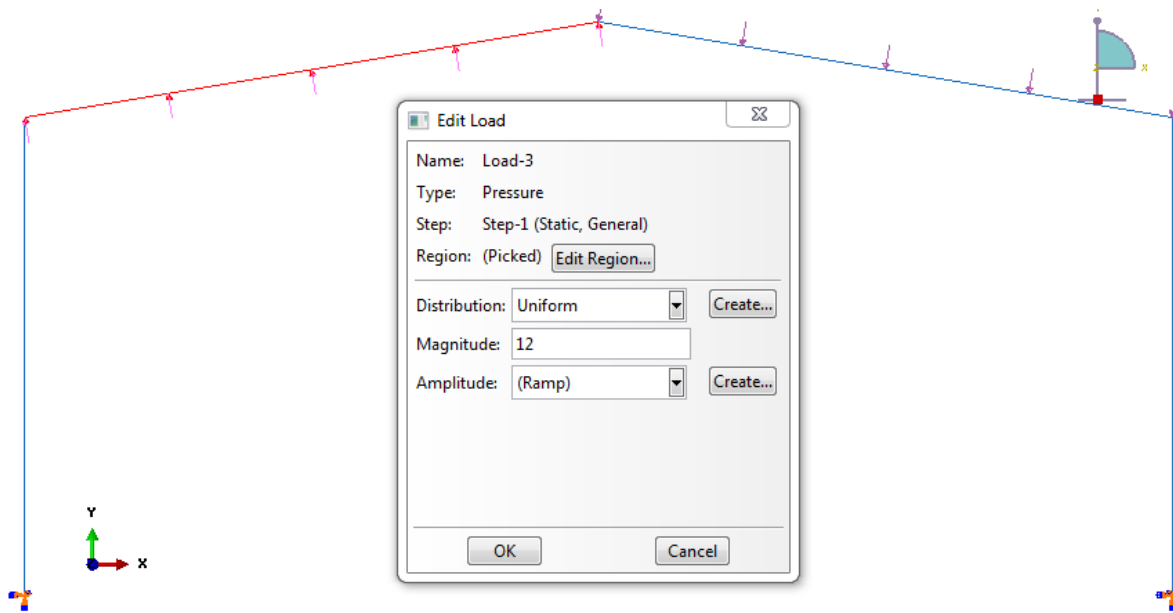


Linda Giresini

34

Calcolo su Abaqus CAE 6.10

Carico sulla 1* trave.

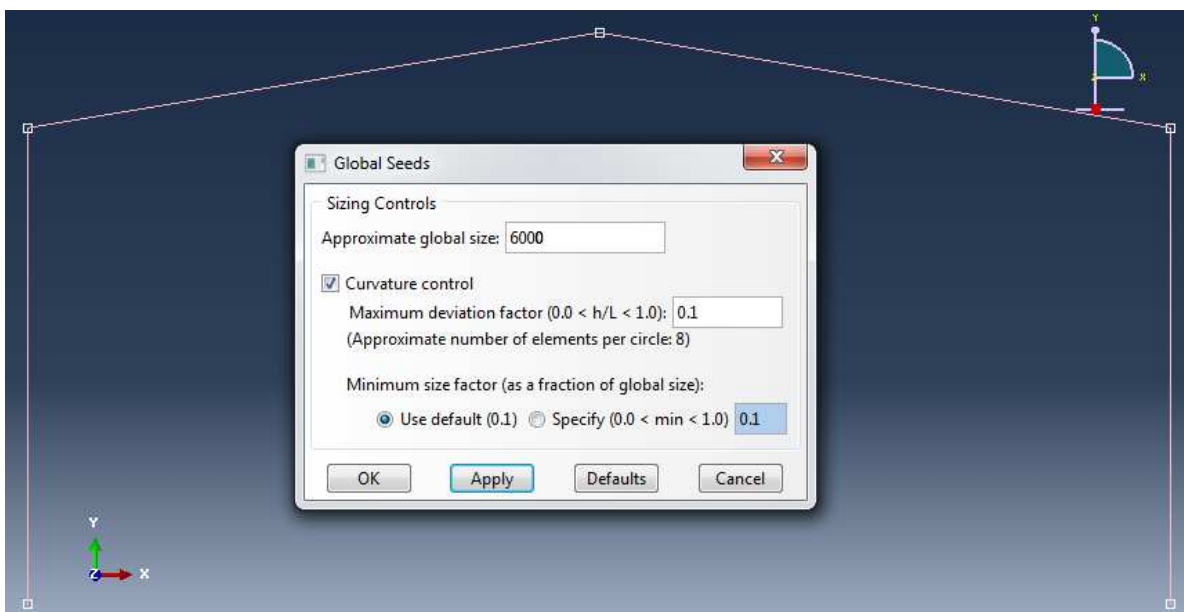


Linda Giresini

35

Calcolo su Abaqus CAE 6.10

Mesh seeds (in modo da avere solo 4 elementi trave).

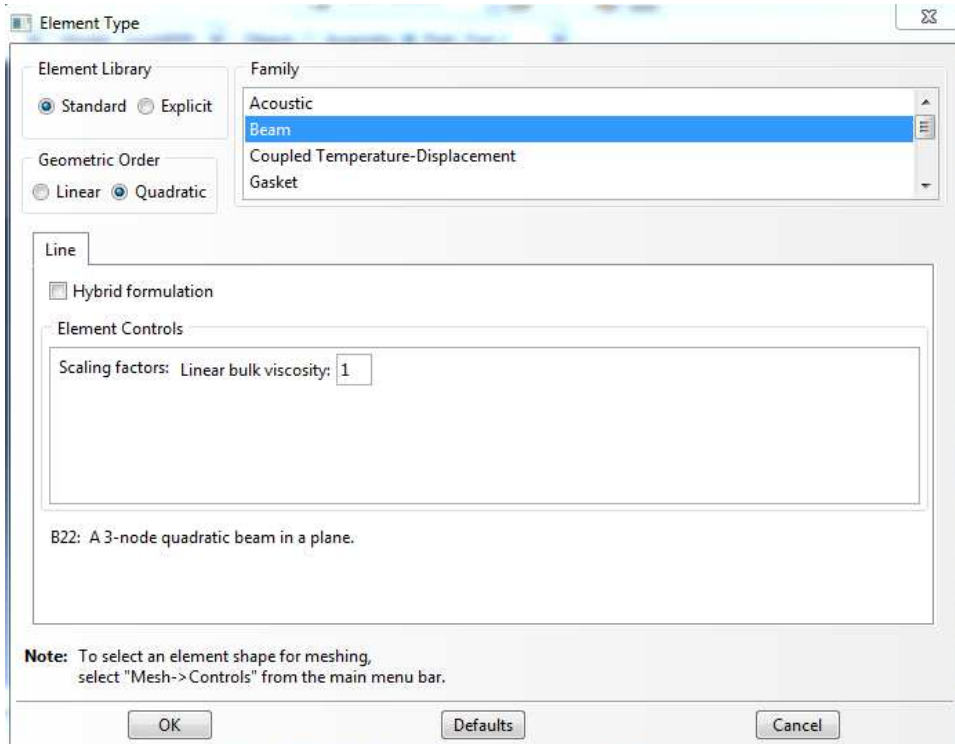


Linda Giresini

36

Calcolo su Abaqus CAE 6.10

Scelta del tipo di elemento per la mesh (beam quadratico)

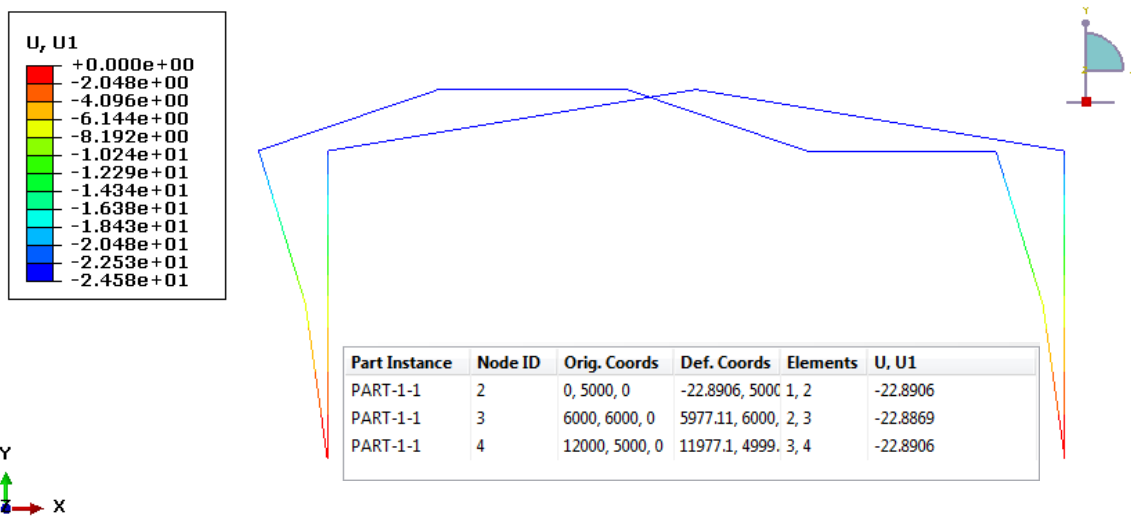


Linda Giresini

37

Calcolo su Abaqus CAE 6.10

Output: deformata (mesh6000)



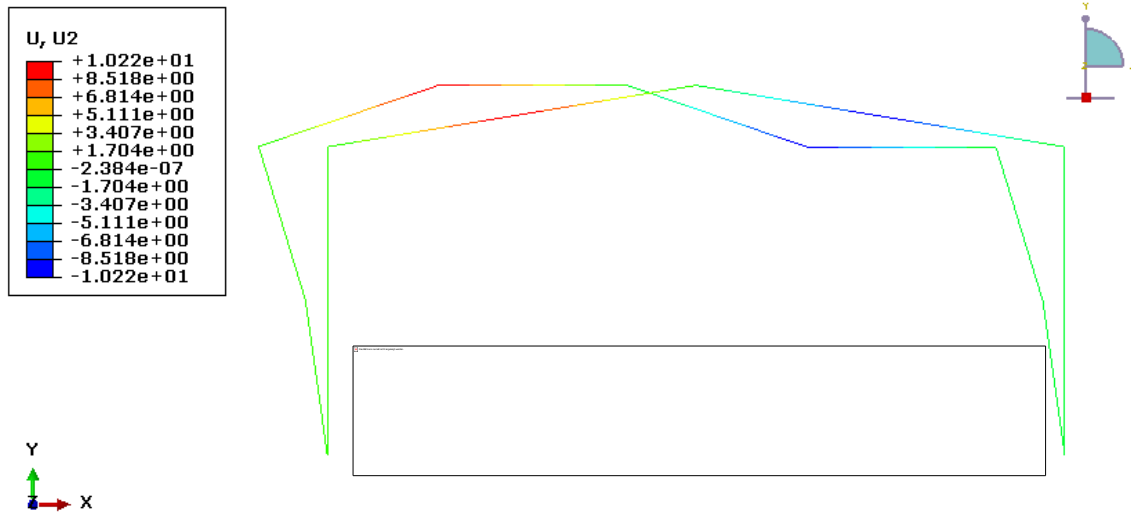
$$[\delta] = \begin{matrix} \text{dispX (u1)} & \text{disp_Y (u2)} & \text{rot(u_rot3)} & \text{node} \\ \begin{bmatrix} 0.0e0 & 0.0e0 & 0.0e0 \\ -2.50314e1 & 1.63630e-1 & 7.11912e-3 \\ -2.50412e1 & -7.98515e-15 & -6.85508e-3 \\ -2.50314e1 & 1.63630e-1 & 7.11912e-3 \\ 0 & 0 & 0 \end{bmatrix} & \begin{matrix} 1 \\ 2 \\ 3 \\ 4 \\ 5 \end{matrix} \end{matrix}$$

Linda Giresini

38

Calcolo su Abaqus CAE 6.10

Output: deformata (mesh6000)

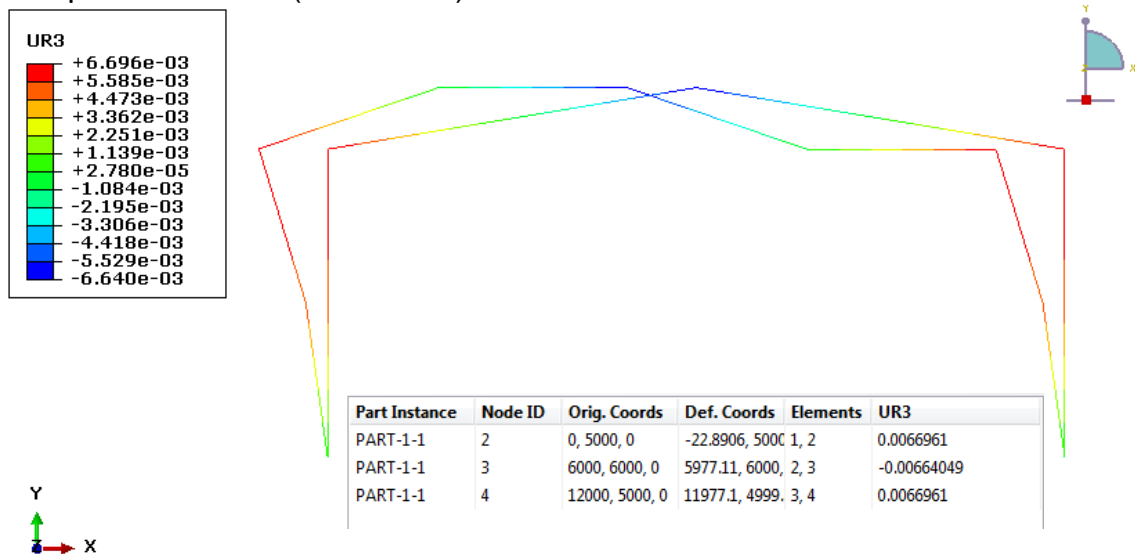


	dispX (u1)	disp_Y (u2)	rot(u_rot3)	node
$[\delta] =$	$0.0e0$	$0.0e0$	$0.0e0$	1
	$-2.50314e1$	$1.63630e - 1$	$7.11912e - 3$	2
	$-2.50412e1$	$-7.98515e - 15$	$-6.85508e - 3$	3
	$-2.50314e1$	$1.63630e - 1$	$7.11912e - 3$	4
	0	0	0	5

Linda Giresini

Calcolo su Abaqus CAE 6.10

Output: deformata (mesh6000)

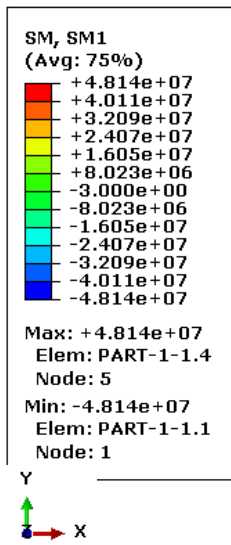


	dispX (u1)	disp_Y (u2)	rot(u_rot3)	node
$[\delta] =$	$0.0e0$	$0.0e0$	$0.0e0$	1
	$-2.50314e1$	$1.63630e - 1$	$7.11912e - 3$	2
	$-2.50412e1$	$-7.98515e - 15$	$-6.85508e - 3$	3
	$-2.50314e1$	$1.63630e - 1$	$7.11912e - 3$	4
	0	0	0	5

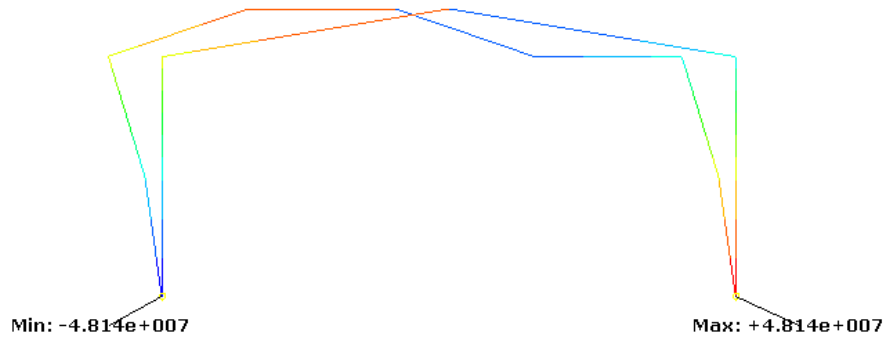
Linda Giresini

Calcolo su Abaqus CAE 6.10

Output: momenti flettenti (mesh6000)



Part Instance	Node ID	Orig. Coords	Def. Coords	Elements	SM, SM1 (Avg: 75%)
PART-1-1	2	0, 5000, 0	-22.8906, 5000	1, 2	2.03341e+07
PART-1-1	3	6000, 6000, 0	5977.11, 6000	2, 3	3.69596e+07, -3.69596e+07
PART-1-1	4	12000, 5000, 0	11977.1, 4999	3, 4	-2.03341e+07



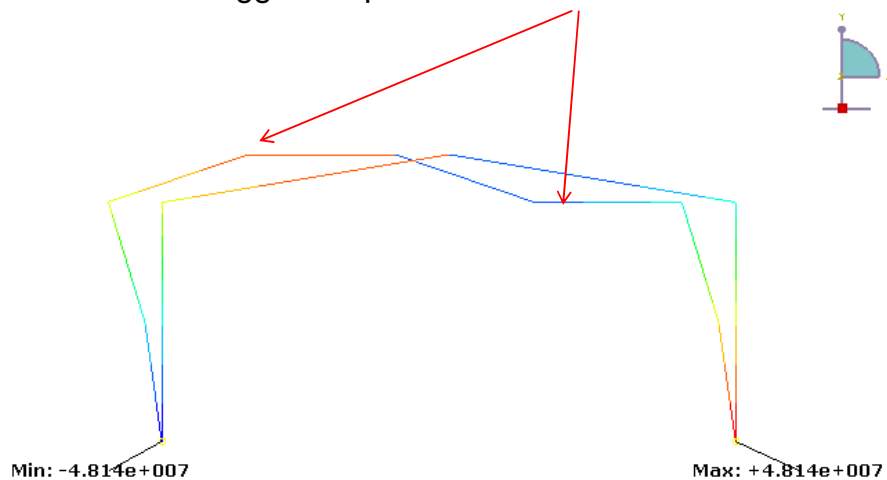
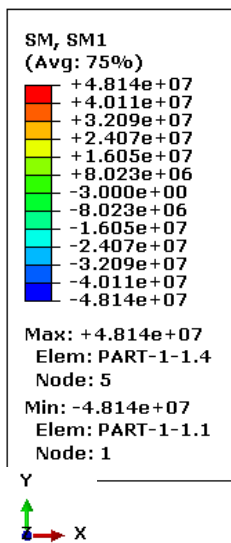
$$[f_loc] = \begin{bmatrix} fx1 & fy1 & M1 & fx2 & fy2 & M2 \\ -34100.5529 & -11999.9753 & -54603626.4780 & 34100.5529 & 11999.9753 & -5396249.9239 \\ 6230.6063 & -35609.3620 & 5396249.9239 & -6230.6063 & -37383.6380 & -0.0000 \\ -6230.6063 & 37383.6380 & 0.00000 & 35609.3620 & 35609.3620 & 5396249.9239 \\ 34100.5529 & -11999.9753 & -5396249.9239 & 11999.9753 & 11999.9753 & -54603626.4780 \end{bmatrix} \begin{matrix} 1 \\ 2 \\ 3 \\ 4 \end{matrix}$$

Linda Giresini

41

Calcolo su Abaqus CAE 6.10

Momento per trave di luce l/2 soggetta a p=12kN/m =6.3e7 Nmm



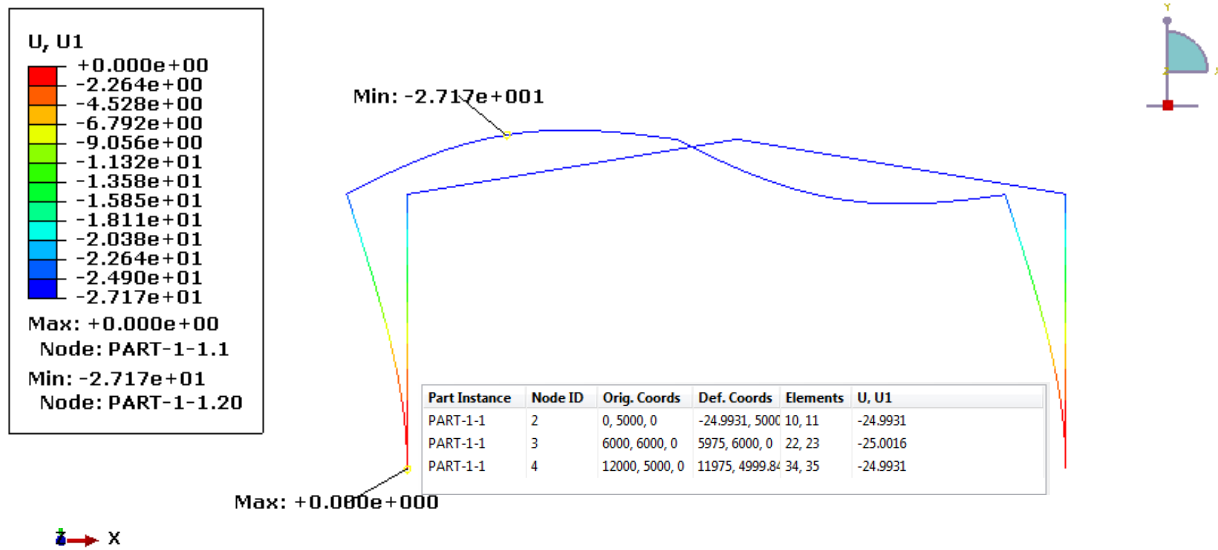
$$[f_loc] = \begin{bmatrix} fx1 & fy1 & M1 & fx2 & fy2 & M2 \\ -34100.5529 & -11999.9753 & -54603626.4780 & 34100.5529 & 11999.9753 & -5396249.9239 \\ 6230.6063 & -35609.3620 & 5396249.9239 & -6230.6063 & -37383.6380 & -0.0000 \\ -6230.6063 & 37383.6380 & 0.00000 & 35609.3620 & 35609.3620 & 5396249.9239 \\ 34100.5529 & -11999.9753 & -5396249.9239 & 11999.9753 & 11999.9753 & -54603626.4780 \end{bmatrix} \begin{matrix} 1 \\ 2 \\ 3 \\ 4 \end{matrix}$$

Linda Giresini

42

Calcolo su Abaqus CAE 6.10

Output: deformata (mesh500)



$$[\delta] = \begin{matrix} \text{dispX (u1)} & \text{disp_Y (u2)} & \text{rot(u_rot3)} & \text{node} \\ \begin{bmatrix} 0.0e0 & 0.0e0 & 0.0e0 \\ -2.50314e1 & 1.63630e-1 & 7.11912e-3 \\ -2.50412e1 & -7.98515e-15 & -6.85508e-3 \\ -2.50314e1 & 1.63630e-1 & 7.11912e-3 \\ 0 & 0 & 0 \end{bmatrix} & \begin{matrix} 1 \\ 2 \\ 3 \\ 4 \\ 5 \end{matrix} \end{matrix}$$

Linda Giresini

43

Calcolo su Abaqus CAE 6.10

Output: deformata (mesh100)

Part Instance	Node ID	Orig. Coords	Def. Coords	Elements	U, U1
PART-1-1	2	0, 5000, 0	-25.1458, 5000, 50, 51		-25.1458
PART-1-1	3	6000, 6000, 0	5974.84, 6000, 111, 112		-25.1551
PART-1-1	4	12000, 5000, 0	11974.9, 4999.17, 172, 173		-25.1458

Output: deformata (mesh500)

Part Instance	Node ID	Orig. Coords	Def. Coords	Elements	U, U1
PART-1-1	2	0, 5000, 0	-24.9931, 5000, 10, 11		-24.9931
PART-1-1	3	6000, 6000, 0	5975, 6000, 0, 22, 23		-25.0016
PART-1-1	4	12000, 5000, 0	11975, 4999.84, 34, 35		-24.9931

Output: deformata (mesh6000)

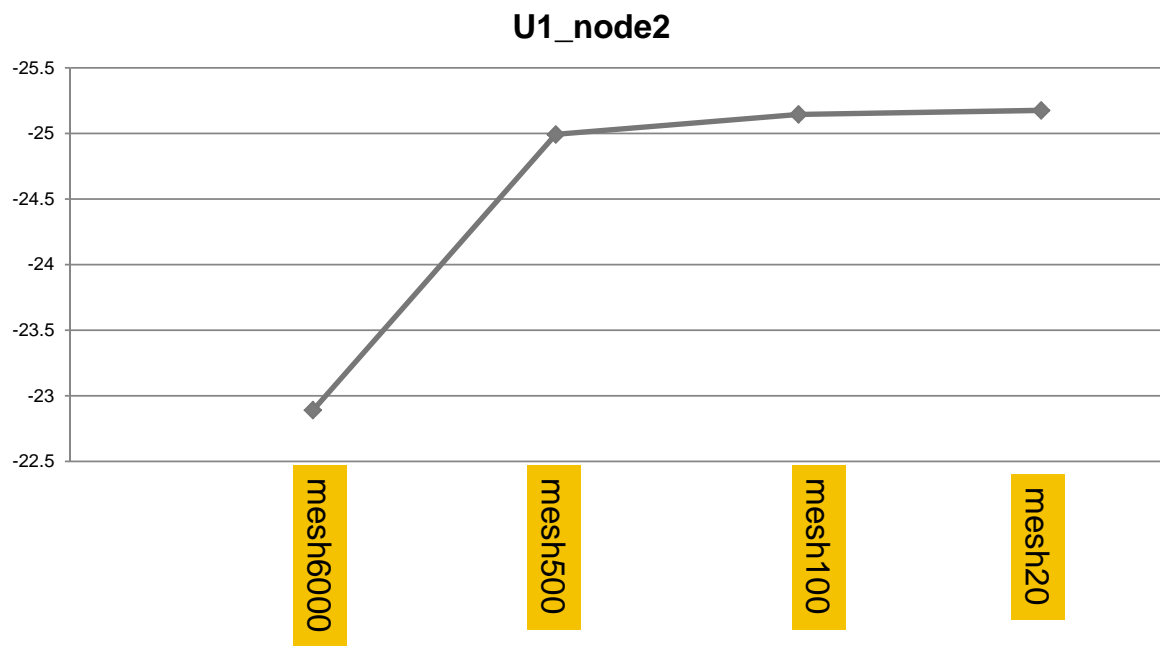
Part Instance	Node ID	Orig. Coords	Def. Coords	Elements	U, U1
PART-1-1	2	0, 5000, 0	-22.8906, 5000, 1, 2		-22.8906
PART-1-1	3	6000, 6000, 0	5977.11, 6000, 2, 3		-22.8869
PART-1-1	4	12000, 5000, 0	11977.1, 4999.3, 4		-22.8906

Linda Giresini

44

Calcolo su Abaqus CAE 6.10

Confronto tra gli spostamenti in X del nodo 2 e convergenza al raffinamento della mesh.



Linda Giresini

45

Cenni di modellazione strutturale

Linda Giresini

Linda Giresini

46

CONCETTI DI BASE DEL FEM

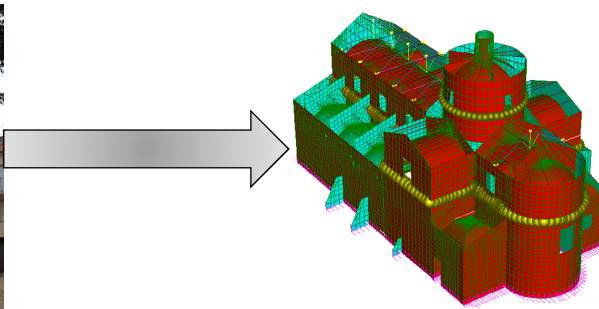
DISCRETIZZAZIONE: dal problema continuo al discreto

Nel FEM una struttura è divisa in sottostrutture (*elementi finiti*) che possono essere descritti con un numero finito di variabili indipendenti (spostamenti) associati ai nodi. Si suppone che le strutture siano connesse le une alle altre solo in corrispondenza dei nodi (attraverso i quali, quindi, gli elementi finiti interagiscono)

Struttura reale (complessa)



Modello FEM (discretizzato)



Linda Giresini

47

LA MODELLAZIONE FEM NON E' UNO STRUMENTO DA USARE CON LEGGEREZZA

Incertezze nell'affrontare una modellazione FEM:

1. Concezione del modello: globale? locale?
2. Tipo di analisi: lineare? non lineare?
3. Scelta delle azioni sismiche: analisi con spettri di risposta, push-over, dinamica lineare time-history, non lineare?

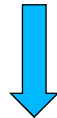
**Occorre sempre chiedersi:
ha davvero senso quello che stiamo facendo con il programma?**

Linda Giresini

48

MODELLAZIONE FEM

Concezione del modello strutturale: dove è opportuno semplificare per non avere inutili complicazioni (elementi non strutturali, copertura)

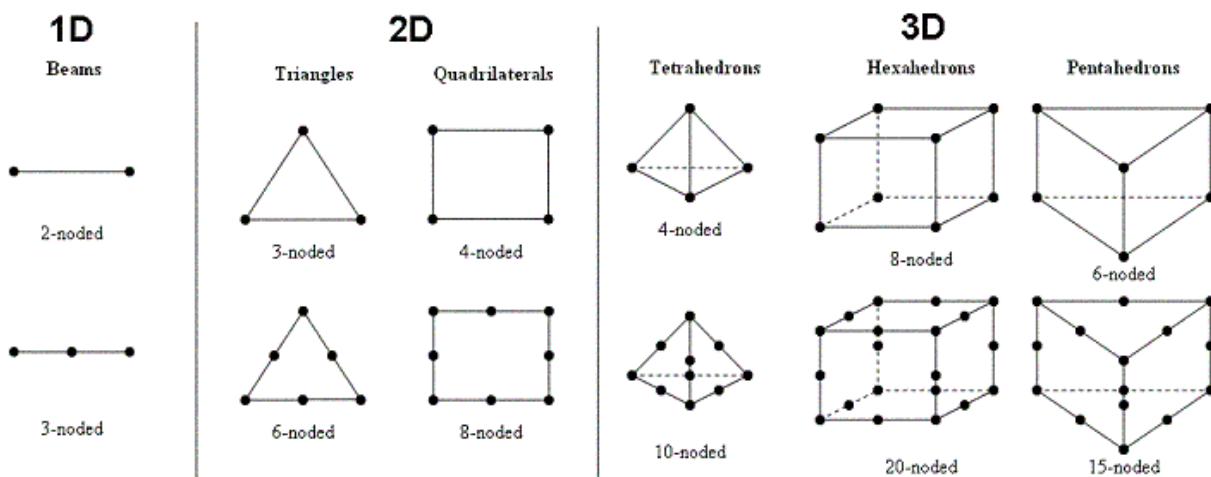


Notevole riduzione dell'onere computazionale, facilità di interpretazione dei risultati, limitazione degli errori

Linda Giresini

49

TIPI DI ELEMENTI



- Non è detto che elementi più complessi portino migliori soluzioni;
- Occorre trovare un compromesso tra accuratezza nel calcolo, onere computazionale ed interpretabilità dei risultati.

Linda Giresini

Linda Giresini

50

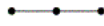
TIPI DI ELEMENTI- beam e plate/shell

1D

Beams



2-noded

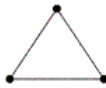


3-noded

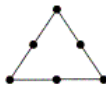


2D

Triangles



3-noded

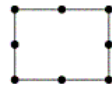


6-noded

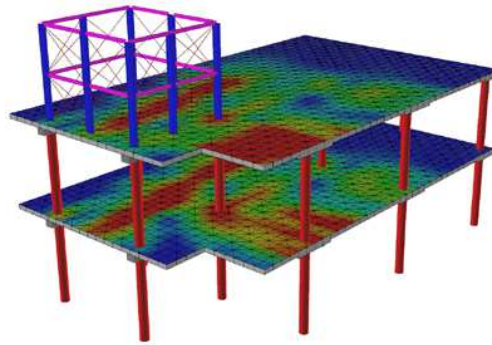
Quadrilaterals



4-noded



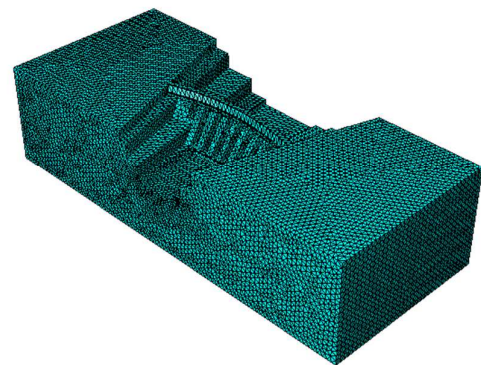
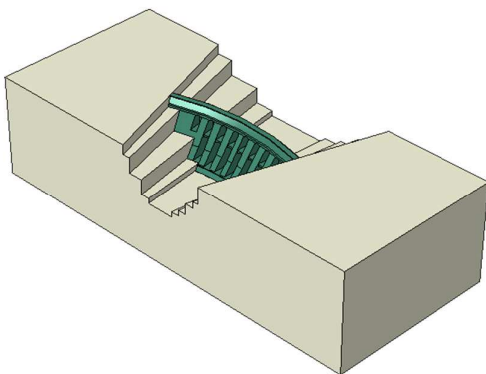
8-noded



Linda Giresini

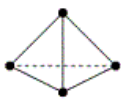
Linda Giresini

TIPI DI ELEMENTI - brick

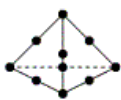


3D

Tetrahedrons

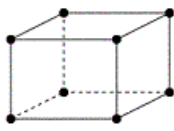


4-noded

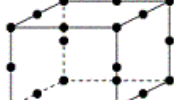


10-noded

Hexahedrons

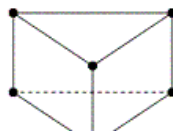


8-noded



20-noded

Pentahedrons

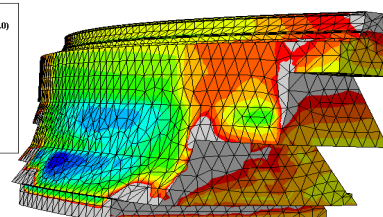
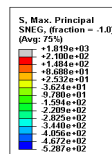


6-noded



15-noded

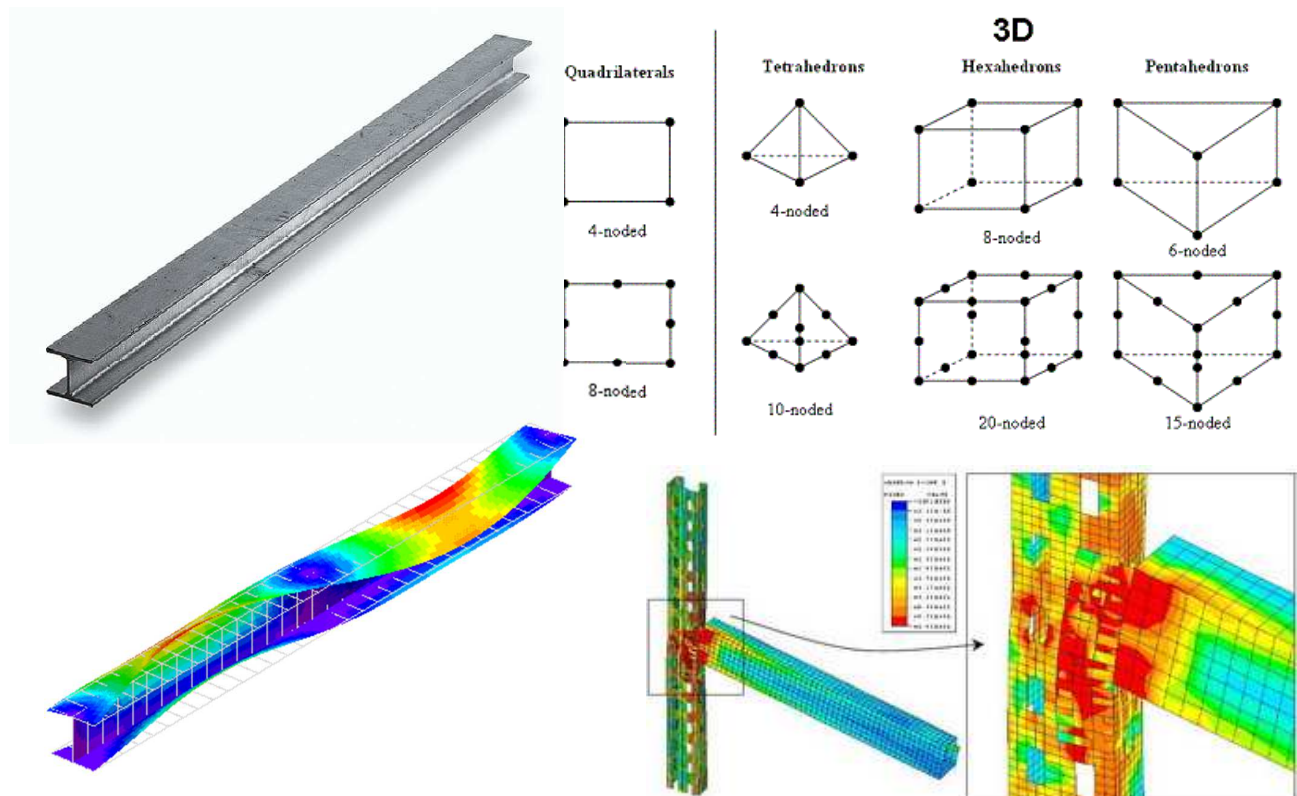
Elementi richiesti per geometrie complesse 3dim.



ODB: D:\SLU_all_pinn_s2.odb
Step: Uplift
Increment: 1: Step Time = 1.000
Primary Var: S. Max. Principal

Linda Giresini

TIPI DI ELEMENTI



Linda Giresini

53

MESH DEL MODELLO FE

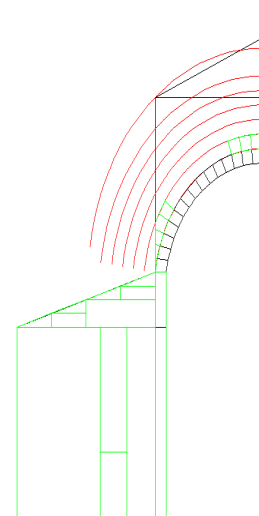
Dalla bontà della mesh deriva l'attendibilità della soluzione.

Possibilità standard per creare una mesh:

1. Trattare la geometria in un software CAD e importarla;
2. Sfruttare il meshatore automatico del programma di calcolo;

Nuova frontiera:

Isogeometric analysis: approccio computazionale basato sulla possibilità di integrare analisi ad elementi finiti in ambienti CAD con NURBS (Non Uniform Rational B-Splines). Metodo più robusto, meglio condizionato e accurato di quelli attuali.



Linda Giresini

54